

Parte I : Geometría diferencial

1. Torsión: a partir de su ley de transformación, mostrar que la parte antisimétrica de los símbolos de Christoffell transforma como un tensor

$$\text{Tensor de Torsión : } T_{\mu\nu}^{\alpha} \equiv \Gamma_{\mu\nu}^{\alpha} - \Gamma_{\nu\mu}^{\alpha} \quad (1)$$

2. p -formas. Derivadas de tensores sin símbolos de Christoffell:

- (i) Mostrar que si A_{μ} es un co-vector, $\partial_{\mu}A_{\nu}$ no es un tensor $\binom{0}{2}$.
- (ii) Mostrar que su parte antisimétrica, $F_{\mu\nu} \equiv 2\partial_{[\mu}A_{\nu]} = \partial_{\mu}A_{\nu} - \partial_{\nu}A_{\mu}$, si lo es.
- (iii) Mostrar que la derivada exterior d genera tensores. Considerar $\omega_{\mu\nu}$ una 2-forma, $\omega_{\mu\nu} = -\omega_{\nu\mu}$. Mostrar que $d\omega_{\mu\nu\rho} = \partial_{[\mu}\omega_{\nu\rho]}$, donde [...] significa antisimetrizar los índices, transforma como un tensor frente a un cambio de coordenadas.
- (iv) Mostrar que para toda conexión simétrica resulta

$$\partial_{[\mu}\omega_{\nu\rho]} = \nabla_{[\mu}\omega_{\nu\rho]}$$

3. Contracciones son covariantes: Sea $X^{\mu}{}_{\nu\rho}$ es un tensor $\binom{1}{2}$, mostrar que $Y_{\rho} \equiv X^{\mu}{}_{\mu\rho}$ es un tensor $\binom{0}{1}$. La contracción es un mapeo de tensores $\mathfrak{C} : \mathcal{T}_q^p \rightarrow \mathcal{T}_{q-1}^{p-1}$ definido por

$$\mathfrak{C} : \mathbf{T}(\omega_1, \dots, \omega_p; \mathbf{U}_1, \dots, \mathbf{U}_q) \rightarrow \mathbf{T}(\omega_1, \dots, e^a, \dots, \omega_p; \mathbf{U}_1, \dots, \mathbf{E}_a, \dots, \mathbf{U}_q)$$

donde $\{\mathbf{E}_a\}, \{e^b\}$ son bases duales de $T_p\mathcal{M}$ y $T_p^*\mathcal{M}$, esto es $\langle e^a, \mathbf{E}_b \rangle = \delta_b^a$

4. Composición de vectores y corchete de Lie:

- (i) Dados $\mathbf{V}, \mathbf{W} \in \mathfrak{X}(\mathcal{M})$, mostrar que $(\mathbf{V} \circ \mathbf{W})(f) = \mathbf{V}(\mathbf{W}(f))$ no satisface Leibniz.
- (ii) Mostrar que el corchete de Lie

$$[\mathbf{V}, \mathbf{W}](f) \equiv \mathbf{V}(\mathbf{W}(f)) - \mathbf{W}(\mathbf{V}(f))$$

satisface Leibniz y es lineal en f , luego define un vector.

- (iii) Mostrar que en base de coordenadas $\{\partial_{\mu}\}$ las componentes del corchete de Lie son

$$[\mathbf{V}, \mathbf{W}]^{\mu} = V^{\nu}\partial_{\nu}W^{\mu} - W^{\nu}\partial_{\nu}V^{\mu} \quad (2)$$

Mostrar a partir de esta expresión que frente a un cambio de coordenadas $x \rightarrow \tilde{x}(x)$ el lado derecho transforma como un vector, esto es

$$[\mathbf{V}, \mathbf{W}]^{\mu} \rightarrow \frac{\partial \tilde{x}^{\mu}}{\partial x^{\alpha}} [\mathbf{V}, \mathbf{W}]^{\alpha}$$

- (iv) Sean $\mathbf{X}, \mathbf{Y}, \mathbf{Z}$ campos vectoriales suaves en \mathcal{M} , verificar que el corchete de Lie satisface Jacobi

$$[[\mathbf{X}, \mathbf{Y}], \mathbf{Z}] + [[\mathbf{Y}, \mathbf{Z}], \mathbf{X}] + [[\mathbf{Z}, \mathbf{X}], \mathbf{Y}] = 0 \quad (3)$$

5. Derivada de Lie: compara tensores a lo largo de una congruencia de curvas definidas a partir de un campo vectorial \mathbf{K} sobre la variedad. $\mathcal{L}_{\mathbf{K}}$ no cambia el carácter del tensor.

- . Derivada de Lie de un escalar f en la dirección de \mathbf{K} : $\mathcal{L}_{\mathbf{K}}f = \mathbf{K}(f)$
- . Derivada de Lie del vector \mathbf{V} en la dirección de \mathbf{K} : $\mathcal{L}_{\mathbf{K}}\mathbf{V} = [\mathbf{K}, \mathbf{V}] \quad (\dagger)$

- a) Sea $f \in \mathcal{F}(\mathcal{M})$ y $\mathbf{V} \in \mathfrak{X}(\mathcal{M})$ mostrar

$$\mathcal{L}_{\mathbf{K}}(f\mathbf{V}) = (\mathcal{L}_{\mathbf{K}}f) \cdot \mathbf{V} + f \cdot (\mathcal{L}_{\mathbf{K}}\mathbf{V})$$

b) Dados \mathbf{X} , \mathbf{Y} y \mathbf{Z} campos vectoriales y f una función probar

$$[\mathcal{L}_{\mathbf{X}}, \mathcal{L}_{\mathbf{Y}}]f = \mathcal{L}_{[\mathbf{X}, \mathbf{Y}]}f, \quad [\mathcal{L}_{\mathbf{X}}, \mathcal{L}_{\mathbf{Y}}]\mathbf{Z} = \mathcal{L}_{[\mathbf{X}, \mathbf{Y}]} \mathbf{Z}. \quad (4)$$

c) Usando la identidad de Jacobi (3), verificar que

$$\mathcal{L}_{\mathbf{X}}[\mathbf{Y}, \mathbf{Z}] = [\mathcal{L}_{\mathbf{X}}\mathbf{Y}, \mathbf{Z}] + [\mathbf{Y}, \mathcal{L}_{\mathbf{X}}\mathbf{Z}]$$

d) La derivada de Lie satisface Leibniz al actuar sobre productos tensoriales

$$\mathcal{L}_{\mathbf{K}}(\omega \otimes \mathbf{V}) = (\mathcal{L}_{\mathbf{K}}\omega) \otimes \mathbf{V} + \omega \otimes (\mathcal{L}_{\mathbf{K}}\mathbf{V}). \quad (5)$$

Contrayendo esta relación y usando (†) mostrar que base coordenada $\{\partial_\mu\}$ resulta

$$(\mathcal{L}_{\mathbf{K}}\alpha)_\mu = K^\nu \partial_\nu \alpha_\mu + \alpha_\nu \partial_\mu K^\nu$$

e) Generalizando el procedimiento anterior hallar la expresión para la derivada de Lie de un tensor arbitrario $\binom{r}{s}$ obteniendo

$$\begin{aligned} (\mathcal{L}_{\mathbf{U}}\mathbf{T})^{\mu_1 \dots \mu_r}_{\nu_1 \dots \nu_s} &= U^\rho \partial_\rho T^{\mu_1 \dots \mu_r}_{\nu_1 \dots \nu_s} - T^{\rho \mu_2 \dots \mu_r}_{\nu_1 \dots \nu_s} \partial_\rho U^{\mu_1} - T^{\mu_1 \rho \dots \mu_r}_{\nu_1 \dots \nu_s} \partial_\rho U^{\mu_2} - \dots \\ &+ T^{\mu_1 \dots \mu_r}_{\rho \dots \nu_s} \partial_{\nu_1} U^\rho + T^{\mu_1 \dots \mu_r}_{\nu_1 \rho \nu_3 \dots \nu_s} \partial_{\nu_2} U^\rho + \dots \end{aligned} \quad (6)$$

f) Usando (5) para un tensor arbitrario \mathbf{T} mostrar que

$$[\mathcal{L}_{\mathbf{X}}, \mathcal{L}_{\mathbf{Y}}]\mathbf{T} = \mathcal{L}_{[\mathbf{X}, \mathbf{Y}]} \mathbf{T}$$

g) Mostrar que las derivadas parciales en (6) se pueden reemplazar por derivadas covariantes si la conexión no tiene torsión (es simétrica).

6. Derivada de Lie y Derivadas covariantes: con el objeto de hacer evidente que la derivada de Lie transforma tensores en tensores, a pesar de contener sólo derivadas ordinarias, mostrar que podemos reescribirla en términos de la derivada covariante como

$$\begin{aligned} \mathcal{L}_\xi \phi &= \xi^\lambda \nabla_\lambda \phi \\ \mathcal{L}_\xi V^\mu &= \xi^\lambda \nabla_\lambda V^\mu - V^\lambda \nabla_\lambda \xi^\mu - T^\mu_{\lambda\nu} \xi^\lambda V^\nu \\ \mathcal{L}_\xi \omega_\mu &= \xi^\lambda \nabla_\lambda \omega_\mu + \omega_\lambda \nabla_\mu \xi^\lambda + T^\rho_{\lambda\mu} \xi^\lambda \omega_\rho \end{aligned}$$

donde $T^\rho_{\lambda\mu}$ es el tensor de torsión definido en (1).

7. Derivada de Lie, métrica y conexión de Levi-Civita: mostrar que la derivada de Lie de la métrica \mathbf{g} , en ausencia de torsión, en la dirección del vector ξ en base coordenada puede ser reexpresada como

$$(\mathcal{L}_\xi \mathbf{g})_{\mu\nu} = \nabla_\mu \xi_\nu + \nabla_\nu \xi_\mu \quad \text{definiendo} \quad \xi_\mu \equiv g_{\mu\nu} \xi^\nu$$

donde ∇ es la conexión de Levi-Civita.

8. Mapa exponencial, flujos: las curvas integrales $x_{\mathbf{K}}^\mu(t, x_0)$ generadas por el campo vectorial $\mathbf{K} = K^\mu(x) \partial_\mu$ se obtienen de

$$\frac{dx_{\mathbf{K}}^\mu}{dt} = K^\mu(x_{\mathbf{K}}(t))$$

con condición inicial $x_{\mathbf{K}}^\mu(0, x_0) = x_0^\mu$.

(i) Mostrar que satisfacen¹

$$x_{\mathbf{K}}^\mu(t, x_{\mathbf{K}}(s, x_0)) = x_{\mathbf{K}}^\mu(t + s, x_0)$$

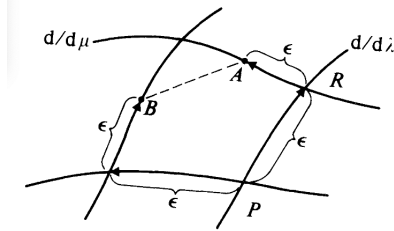
(ii) Para t fijo y $\forall x_0$ podemos interpretar la congruencia de curvas como un difeomorfismo $\psi_t : \mathcal{M} \rightarrow \mathcal{M}$. Verificar que las propiedades (renombrando $x_0 \rightarrow x$)

1. $\psi_t(\psi_s(x)) = \psi_{t+s}$, esto es, $\psi_t \circ \psi_s = \psi_{t+s}$
2. $\psi_0 =$ mapa identidad
3. $\psi_{-t} = (\psi_t)^{-1}$

convierten a ψ_t en un grupo conmutativo y justifican la notación $x_{\mathbf{K}}^\mu(t, x) = e^{t\mathbf{K}} x^\mu$.

¹Ayuda: este hecho resulta de mostrar que ambos lados satisfacen la misma ec diferencial con la misma C.I. y del hecho de que la solución de EDO's es única.

9. Interpretación geométrica del corchete de Lie: considerar dos flujos $x_{\mathbf{V}}^{\alpha}(t, x)$ y $x_{\mathbf{W}}^{\alpha}(t, x)$ generados por vectores $\frac{d}{d\lambda} = \mathbf{V}$ y $\frac{d}{d\mu} = \mathbf{W}$. Partiendo del punto P de la figura evaluar a primer orden la composición de los flujos en distinto orden: $x_{\mathbf{V}}^{\alpha}(\epsilon, x_{\mathbf{W}}^{\alpha}(\epsilon, P))$ que nos lleva a B y $x_{\mathbf{W}}^{\alpha}(\epsilon, x_{\mathbf{V}}^{\alpha}(\epsilon, P))$ que nos lleva a A . Mostrar que la diferencia entre las coordenadas de los puntos finales es proporcional al corchete de Lie $[\mathbf{V}, \mathbf{W}]$.



El corchete de Lie es una medida de la no clausura del paralelogramo generado por \mathbf{V}, \mathbf{W} .

10. Vectores de Killing y geodésicas en el espacio hiperbólico: considerar la métrica del espacio hiperbólico \mathbb{H}^3 en coordenadas de Beltrami²

$$ds^2 = \frac{d\mathbf{r}^2}{1-r^2} + \frac{(\mathbf{r} \cdot d\mathbf{r})^2}{(1-r^2)^2} \quad (7)$$

- (i) Mostrar que el Hamiltoniano que describe las geodésicas toma la forma

$$H = \frac{1}{2}(\mathbf{M}^2 - \mathbf{L}^2)$$

donde

$$\mathbf{M} = \mathbf{p} - \mathbf{r}(\mathbf{p} \cdot \mathbf{r}), \quad \mathbf{L} = \mathbf{r} \times \mathbf{p}$$

- (ii) Hallar los corchetes de Poisson

$$\{L_i, L_j\} = \epsilon_{ijk} L_k, \quad \{M_i, M_j\} = -\epsilon_{ijk} L_k, \quad \{L_i, M_j\} = \epsilon_{ijk} M_k$$

y mostrar que \mathbf{L} y \mathbf{M} son constantes de movimiento. Chequear que el álgebra de Poisson de $L_{ij} = \epsilon_{ijk} L_k$ y $L_{0i} = M_i$ es la de $\mathfrak{so}(3, 1)$. En la misma línea mostrar que H y $\mathbf{M} \cdot \mathbf{L}$ son los Casimires cuadráticos.

- (iii) Identificar los vectores de Killing de (7) y evaluar sus corchetes de Lie.

11. Modelo σ no lineal - 1d WZNW:

- (a) Explicar por qué para un grupo compacto G

$$ds^2 = -\text{Tr}(g^{-1}dg g^{-1}dg)$$

es una métrica Riemmaniana y establecer sus simetrías.

- (b) Escribir el lagrangiano para una partícula libre sobre G con esta métrica, hallar las ecuaciones de movimiento y mostrar que la solución general es

$$g(t) = g_0 \exp(t\mathbf{X}_0)$$

donde $g_0 \in G$ y $\mathbf{X}_0 \in \mathfrak{g}$. Cómo cambian $g_0 \in G$ y $\mathbf{X}_0 \in \mathfrak{g}$ bajo la acción derecha e izquierda de G .

- (c) Mostrar que para $G = SU(2)$ y para todo $\mathbf{X}_0 \in \mathfrak{g}$ no nulo la solución es siempre periódica.

- (d) Es la solución periódica para $G = SU(3)$? lo es siempre? Ilustrar la respuesta con ejemplos.

²Las coordenadas de Beltrami para S^n se obtienen de embeber $(x^1)^2 + \dots + (x^{n+1})^2 = R^2$ en $ds^2 = (dx^1)^2 + \dots + (dx^{n+1})^2$ eliminando x^{n+1} de manera que

$$ds^2 = (dx^1)^2 + \dots + (dx^n)^2 + \frac{(x^1 dx^1 + \dots + x^n dx^n)^2}{R^2 - r^2}$$

(e) Considerar ahora la acción para $g(\mathbf{x})$ e introducir un campo de gauge $A_\mu(\mathbf{x})$ de manera que resulte invariante frente a transformaciones locales $g(\mathbf{x}) \rightarrow U(\mathbf{x})g(\mathbf{x})U^{-1}(\mathbf{x})$. Explícitamente, introducir la derivada covariante

$$D_\mu g = \partial_\mu g + \alpha A_\mu g + \beta g A_\mu$$

determinar la ley de transformación para A_μ ajustando α, β de manera que $g^{-1}D_\mu g \rightarrow U(g^{-1}D_\mu g)U^{-1}$.

12. Formalismo de tétradas. Gravedad como una teoría de gauge del grupo de Lorentz
Consideremos transformaciones de Lorentz infinitesimales

$$\tilde{x}^a = \Lambda^a_b x^b \approx (\delta^a_b + \theta^a_b) x^b, \quad \text{denotamos } \Lambda = e^\theta \quad \text{y} \quad |\theta^a_b| \ll 1 \quad (8)$$

Recordemos que de $\Lambda^T \eta \Lambda = \eta$, definiendo $\theta_{ab} \equiv \eta_{ac} \theta^c_b$, resulta $\theta_{ab} = -\theta_{ba}$. Los generadores del grupo de Lorentz satisfacen

$$[M_{ab}, M_{cd}] = \eta_{bc} M_{ad} - \eta_{ac} M_{bd} - \eta_{bd} M_{ac} + \eta_{ad} M_{bc} \quad (9)$$

Un tensor T^I en una representación R del grupo de Lorentz transformará según

$$T^I \rightarrow \tilde{T}^I = D^R(\Lambda)^I_J T^J$$

donde

$$D^R(\Lambda) = e^{\frac{1}{2} \theta^{ab} M_{ab}^{(R)}} \quad \text{con} \quad M_{ab}^{(R)} = (M_{ab})^I_J \quad (10)$$

(i) Irrep vectorial $(\frac{1}{2}, \frac{1}{2})$: Verificar que Λ coincide con la representación vectorial, $\Lambda = D^R(\Lambda)$ donde $R = (\frac{1}{2}, \frac{1}{2})$, cuyos generadores son

$$(M_{ab})^c_d = \delta_a^c \eta_{bd} - \delta_b^c \eta_{ad} \quad \text{aquí} \quad I = a$$

(ii) Representación espinorial de Dirac $(\frac{1}{2}, 0) \oplus (0, \frac{1}{2})$: mostrar que los generadores

$$M_{ab} = \frac{1}{4} [\gamma_a, \gamma_b]$$

satisfacen el álgebra de Lorentz (9)³.

(iii) Considerar un conjunto de frames ortonormales $\{\mathbf{E}_a\}$ base de $T_p \mathcal{M}$ y sus duales $\{\mathbf{e}^a\}$ base de $T_p^* \mathcal{M}$. A partir de

$$\langle \mathbf{e}^a, \mathbf{E}_b \rangle = \delta_b^a \quad (11)$$

mostrar que

$$g_{\mu\nu}(x) = \eta_{ab} e_\mu^a(x) e_\nu^b(x)$$

Luego, escribiendo (11) en componentes y de la condición de ortonormalidad mostrar

$$(i) \quad e_\mu^a(x) E_b^\mu(x) = \delta_b^a, \quad (ii) \quad E_a^\mu(x) = \eta_{ab} g^{\mu\nu}(x) e_\nu^b(x) \quad (12)$$

y

$$g^{\mu\nu}(x) = E_a^\mu(x) E_b^\nu(x) \eta^{ab}$$

A partir de esta última expresión obtener

$$e_\mu^a(x) E_a^\nu(x) = \delta_\mu^\nu \quad (13)$$

De (12).i y (13) concluimos que $E_a^\mu = (e_\mu^a)^{-1}$. Muchos textos reducen la notación definiendo

$$e_a^\mu \equiv E_a^\mu = \eta_{ab} g^{\mu\nu} e_\nu^b$$

y nunca mencionan las componentes $E_a^\mu(x)$.

³Aquí $I = \alpha$, la irrep actúa sobre espinores ψ^α y la estructura de índices de las matrices gamma es $\gamma_a = (\gamma_a)^\alpha_\beta$.

(iv) Frente a TLL un campo tensorial T transforma según

$$T^I(x) \rightarrow \tilde{T}^I(x) = D(\Lambda(x))^I_J T^J(x) \quad \text{matricialmente} \quad \tilde{T} = D^R(\Lambda(x)) T$$

Definimos la derivada covariante actuando sobre T como

$$\mathcal{D}_a \equiv E_a^\mu(x)(\partial_\mu + \omega_\mu) \quad \text{donde} \quad \omega_\mu = \frac{1}{2}\omega_\mu^{ab}(x)M_{ab}^{(R)}$$

En general, la representación de M_{ab} en la derivada covariante depende del tensor T^I sobre el que actúa. Mostrar a partir de

$$\tilde{\mathcal{D}}_a \tilde{T} = D^R(\Lambda(x)) \mathcal{D}_a T$$

que la conexión de spin ω_μ debe transformar según

$$\tilde{\omega}_\mu = D^R(\Lambda(x)) \cdot \omega_\mu \cdot D^R(\Lambda^{-1}(x)) - \partial_\mu(D^R(\Lambda(x))) \cdot D^R(\Lambda^{-1}(x)),$$

que a primer orden en θ se reduce a

$$\tilde{\omega}_\mu^{ab} \approx \omega_\mu^{ab} - D_\mu \theta^{ab} + \dots \quad (14)$$

donde

$$\begin{aligned} D_\mu \theta^{ab} &\equiv \partial_\mu \theta^{ab} + [\omega_\mu, \theta]^{ab} \\ &= \partial_\mu \theta^{ab} + \omega_\mu^a_c \theta^{cb} - \theta^{ac} \omega_\mu^c_b \end{aligned}$$

(v) Mostrar que

$$\omega_\mu^{ab}(x) = g^{\rho\nu} e_\rho^a (e_\nu^b)_{;\mu}$$

verifica (14), donde $(e_\nu^a)_{;\mu} = \nabla_\mu e_\nu^a = \partial_\mu e_\nu^a - \Gamma_{\nu\mu}^\rho e_\rho^a$. Mostrar que es antisimétrica en (a, b) .

13. Derivadas covariantes, Matrices gamma, en fin ... índices

Hemos introducido tres derivadas covariantes: $D = \partial + \omega$ Lorentz, $\nabla = \partial + \Gamma$ diffeos, $\mathfrak{D} = \partial + \omega + \Gamma$ Lorentz+difeo. El postulado de vierbein nos garantiza que la derivada actuando sobre tensores (spín entero) puede ser calculada indistintamente en base local del espacio tangente (ab) o en base coordenada ($\mu\nu$) (ver ej. 4). En cuanto a los campos de spín semientero es ineludible usar el espacio tangente.

Podemos pensar que siempre actuamos con \mathfrak{D}_μ y que esta actuará apropiadamente dependiendo de los índices del tensor, a saber

$$\mathfrak{D}_\mu V^\rho = \nabla_\mu V^\rho = \partial_\mu V^\rho + \Gamma_{\mu\nu}^\rho V^\nu \quad (15)$$

pero asimismo

$$\mathfrak{D}_\mu V^a = D_\mu V^a = \partial_\mu V^a + \omega_\mu^a_b V^b \quad (16)$$

Las expresiones (15) y (16) son equivalentes en virtud del postulado de vierbein $\mathfrak{D}_\mu e_a^\rho = 0$

$$\nabla_\mu V^\rho = \mathfrak{D}_\mu V^\rho = \mathfrak{D}_\mu (e_a^\rho V^a) = e_a^\rho \mathfrak{D}_\mu V^a = e_a^\rho D_\mu V^a$$

Algunos ejemplos son (suprimiendo el índice espinorial)

$$\text{Espinor :} \quad \mathfrak{D}_\mu \psi = \partial_\mu \psi + \frac{1}{4}\omega_\mu^{ab}\gamma_{ab}\psi, \quad \text{donde} \quad \gamma_{ab} = \frac{1}{2}[\gamma_a, \gamma_b] \quad (17)$$

$$\begin{aligned} \text{Rarita-Schwinger :} \quad \mathfrak{D}_\mu \psi_\nu &= \partial_\mu \psi_\nu + \frac{1}{4}\omega_\mu^{ab}\gamma_{ab}\psi_\nu - \Gamma_{\mu\nu}^\rho \psi_\rho \\ \mathfrak{D}_\mu \psi_a &= \partial_\mu \psi_a + \frac{1}{4}\omega_\mu^{cd}\gamma_{cd}\psi_a + \omega_{\mu a}^b \psi_b \end{aligned} \quad (18)$$

(a) A partir de la ley de transformación de un espinor (17) derivar la ley para el espinor barrado

$$\mathfrak{D}_\mu \bar{\eta} = \bar{\eta}(\tilde{\partial}_\mu - \frac{1}{4}\omega_\mu^{ab}\gamma_{ab})$$

Ayuda: construir el escalar $\phi = \bar{\eta}\psi$, luego $\mathfrak{D}_\mu\phi = \partial_\mu\phi = (\mathfrak{D}_\mu\bar{\eta})\psi + \bar{\eta}(\mathfrak{D}_\mu\psi) \rightsquigarrow$ despejar.

(b) Mostrar que

$$\mathfrak{D}_\mu\gamma^\rho = \partial_\mu\gamma^\rho + \frac{1}{4}\omega_\mu{}^{ab}[\gamma_{ab}, \gamma^\rho] + \Gamma_{\mu\nu}^\rho\gamma^\nu \quad (19)$$

Ayuda: construir el vector $V^\mu = \bar{\eta}\gamma^\mu\psi$ y proceder como en el item anterior.

(c) Mostrar que

$$[\gamma_{ab}, \gamma_c] = 2(\gamma_a\eta_{bc} - \gamma_b\eta_{ac})$$

Usando este resultado evaluar el conmutador de matrices gamma en (19) y concluir que

$$\mathfrak{D}_\mu\gamma_\nu = \partial_\mu\gamma_\nu - \Gamma_{\mu\nu}^\rho\gamma_\rho + \frac{1}{4}\omega_\mu{}^{ab}e_{b\nu}\gamma_a$$

Introduciendo en esta ecuación la relación $\gamma_\nu = e_\nu^a\gamma_a$ hallar que

$$\mathfrak{D}_\mu(e_\nu^a\gamma_a) = \gamma_a(\underbrace{\partial_\mu e_\nu^a - \Gamma_{\mu\nu}^\rho e_\rho^a + \omega_\mu{}^a{}_b e_\nu^b}_{\mathfrak{D}_\mu e_\nu^a = 0 \text{ veirbein postulate}}) = 0 \Rightarrow \boxed{\mathfrak{D}_\mu\gamma_a = 0}$$

14. Ecuación de Dirac en AdS: considerar la métrica de AdS en coordenadas de Poincare

$$ds^2 = R^2 \left(\frac{-dt^2 + d\mathbf{x}^2 + dz^2}{z^2} \right)$$

(i) Definir una base local e^a .

(ii) Hallar la conexión de espín ω^{ab} con torsión nula resolviendo $\mathbf{T}^a = de^a + \omega^a{}_b \wedge e^b = 0$

(iii) Escribir la ecuación de Dirac para un espinor y resolverla.

15. Geometría de la variedad de grupo $G = SU(2)$

La idea será construir la geometría de $SU(2)$ a partir de la estructura de grupo.

(i) Parametrización usual: La variedad de grupo de $SU(2)$ ⁴ es topológicamente la 3-esfera S^3 . A partir de la parametrización

$$U(\psi, \theta, \phi) = \exp\left(\frac{i}{2}\psi \mathbf{n} \cdot \boldsymbol{\sigma}\right) = \cos\frac{\psi}{2} + i \sin\frac{\psi}{2}(\mathbf{n} \cdot \boldsymbol{\sigma})$$

donde $\mathbf{n} = (\sin\theta\cos\phi, \sin\theta\sin\phi, \cos\theta)$ hallar las *algebra valued* 1-formas invariantes a izquierda (left invariant forms LIF)

$$\text{Tétradas : } \mathbf{f}_L \doteq U^{-1}dU = \mathbf{f}_L^a T_a. \quad (20)$$

A partir de las 1-formas \mathbf{f}^a construir la métrica sobre $SU(2)$ usando la métrica de Killing-Cartan

$$\begin{aligned} ds^2 &= -\frac{1}{2}\text{tr}[\mathbf{f}_L\mathbf{f}_L] = -\frac{1}{2}\mathfrak{K}_{ab}f_L^a f_L^b, \quad \mathfrak{K}_{ab} \equiv -\frac{1}{2}\text{tr}[T_a T_b], \text{ Killing - Cartan metric} \\ &= \left(d\frac{\psi}{2}\right)^2 + \sin^2\frac{\psi}{2}(d\theta^2 + \sin^2\theta d\phi^2), \quad \psi \in (0, 4\pi), \theta \in (0, \pi), \phi \in (0, 2\pi) \end{aligned} \quad (21)$$

i.e. la métrica canónica de S^3 . Notemos que es *bi-invariante* \rightsquigarrow isometría $SO(4) \simeq SU(2) \times SU(2)$!

(ii) Por qué (21) resultó ser $G \times G$ invariante? Manipulando la primera línea de (21) mostrar que

$$ds^2 = -\frac{1}{2}\text{tr}[dU dU^\dagger]$$

que resulta invariante frente a $U(\psi, \theta, \phi) \rightarrow V_L U(\psi, \theta, \phi) V_R \in SU(2)$ constantes.

(iii) Angulos de Euler angles y fibración de Hopf de S^3 : parametrizando ahora los elementos de $SU(2)$ en términos de ángulos de Euler

$$U(\phi, \theta, \psi) = e^{-\frac{i}{2}\phi\sigma_3} e^{-\frac{i}{2}\theta\sigma_2} e^{-\frac{i}{2}\psi\sigma_3}$$

⁴Matrices U tales que $UU^\dagger = 1$ y $\det U = +1$

Mostrar que las componentes de

$$\mathbf{e}_L = U^{-1} dU = -\frac{i}{2} \sigma_i \mathbf{e}_L^i$$

en la base de matrices de Pauli resultan

$$\begin{aligned} \mathbf{e}_L^1 &= \sin \psi d\theta - \sin \theta \cos \psi d\phi \\ \mathbf{e}_L^2 &= \cos \psi d\theta - \sin \theta \sin \psi d\phi \\ \mathbf{e}_L^3 &= d\psi + \cos \theta d\phi. \end{aligned} \quad (22)$$

Construyendo la métrica como en (21) obtener al métrica canónica de S^3 en la forma de Hopf

$$\begin{aligned} \text{Métrica de Killing-Cartan : } ds^2 &= -\frac{1}{2} \text{tr}[\mathbf{e}_L \mathbf{e}_L] \\ &= \frac{1}{4} [d\theta^2 + \sin^2 \theta d\phi^2 + (d\psi + \cos \theta d\phi)^2] \end{aligned} \quad (23)$$

(iv) Verificar que las tétradas \mathbf{e}^i satisfacen las relaciones de Maurer-Cartan

$$d\mathbf{e}_L = -\mathbf{e}_L \wedge \mathbf{e}_L$$

Reescribirlas como

$$\text{Conexión de spin - Torsión nula : } d\mathbf{e}^i + \frac{\epsilon^{ijk}}{2} \mathbf{e}^j \wedge \mathbf{e}^k = 0$$

justificando la elección de conexión de torsión nula como $\omega^i_k = \frac{\epsilon^{ijk}}{2} \mathbf{e}^j$.

(iv) Calcular el vol($SU(2)$)= $2\pi^2$. Este volumen depende de la normalización global de la métrica.

(v) Hallar los vectores invariantes bajo la acción a izquierda (duales a las LIF (22) del item anterior)

$$\begin{aligned} \mathbf{L}_1 &= -2 \cot \theta \cos \psi \partial_\psi - 2 \sin \psi \partial_\theta + 2 \frac{\cos \psi}{\sin \theta} \partial_\phi \\ \mathbf{L}_2 &= -2 \cot \theta \sin \psi \partial_\psi - 2 \cos \psi \partial_\theta + 2 \frac{\sin \psi}{\sin \theta} \partial_\phi \\ \mathbf{L}_3 &= -2 \partial_\psi \end{aligned} \quad (24)$$

verificar que satisfacen el álgebra de $SU(2)$ y que son vectores de Killing de la métrica (23). Nota, las constantes de estructura *no* dependen de la posición en $SU(2)$.

(vi) Los right invariant vector fields son

$$\begin{aligned} \mathbf{R}_1 &= 2 \cot \theta \cos \phi \partial_\phi + 2 \sin \phi \partial_\theta - 2 \frac{\cos \phi}{\sin \theta} \partial_\psi \\ \mathbf{R}_2 &= 2 \cot \theta \sin \phi \partial_\phi - 2 \cos \phi \partial_\theta - 2 \frac{\sin \phi}{\sin \theta} \partial_\psi \\ \mathbf{R}_3 &= -2 \partial_\phi \end{aligned}$$

Mostrar que conmutan con los left invariant \mathbf{L}_i

$$[\mathbf{R}_i, \mathbf{L}_j] = 0 \quad \forall i, j$$

que \mathbf{R}_i también son vectores de Killing de \mathfrak{g} , que cierran $SU(2)$ con un sutil cambio de signo, hallar las right invariant 1-forms $\mathbf{e}_R = dU \cdot U^{-1}$, mostrar que son duales a los vectores \mathbf{R}_i y completar todo el picture.

Referencias

sect. 15.2 of *Mathematics for Physics*, P Goldbart and M Stone

sect. 5.6 of *Geometry, Topology and Physics*, M Nakahara.